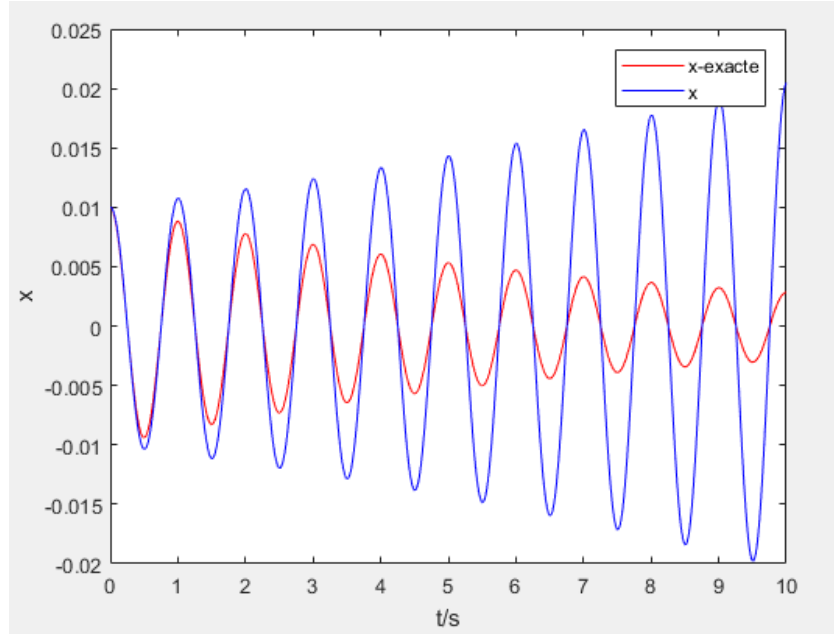


## Etude d'un oscillateur linéaire amorti à un degré de liberté

### 1.1a

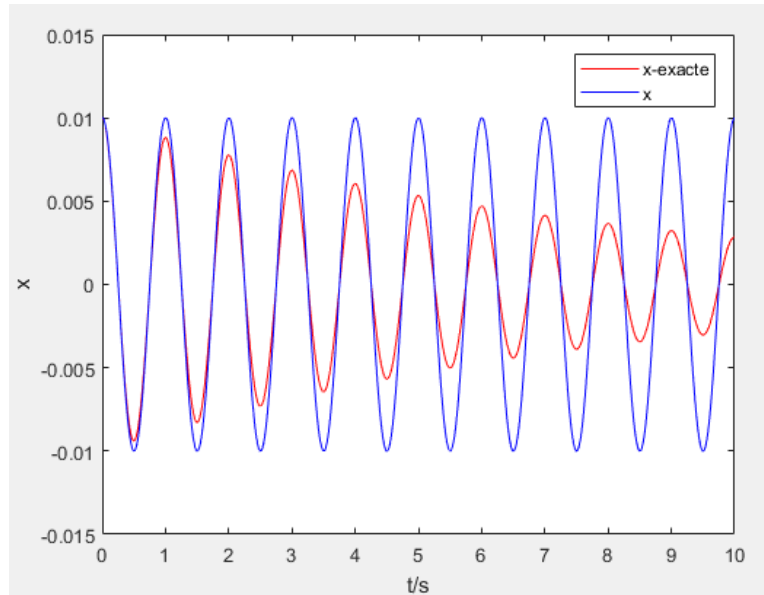
On choisit  $\Delta t = 0.01 > 2\epsilon/\omega_0$ , et on peut voir que la solution est comme :



On remarque que la solution numérique diverge.

### 1.1b

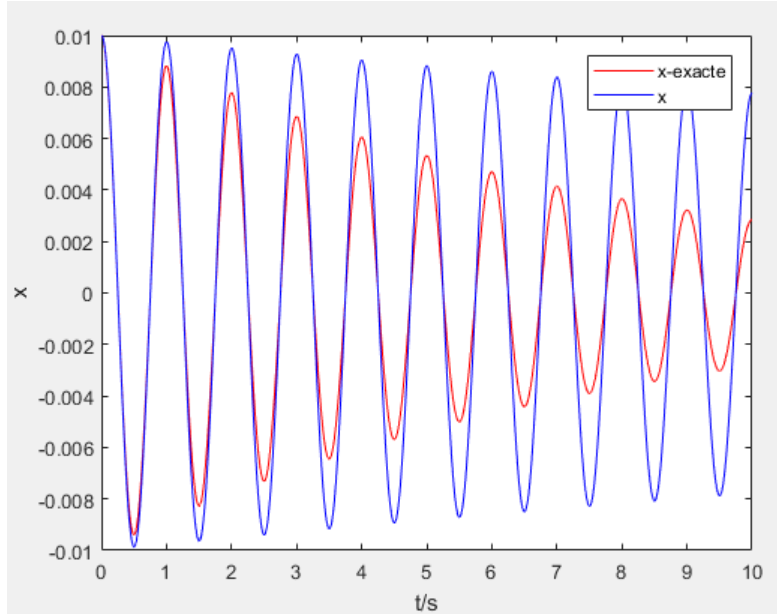
On choisit  $\Delta t = 2\epsilon/\omega_0$ , et on peut voir que la solution est comme :



On remarque que la solution numérique est comme la situation qu'on ne considère pas l'amortissement.

### 1.1c

On choisit  $\Delta t = 0.8 * 2 * \epsilon / w_0$ , et on peut voir que la solution est comme :



On peut voir que la solution numérique converge, mais il y a encore les erreurs en comparant avec la solution exacte.

### 1.1d

Pour étudier la précision de la solution, il faut la solution soit convergent. Donc la valeur du rapport critique est 1.c'est à dire  $\Delta t = 2 * \epsilon / w_0$ .

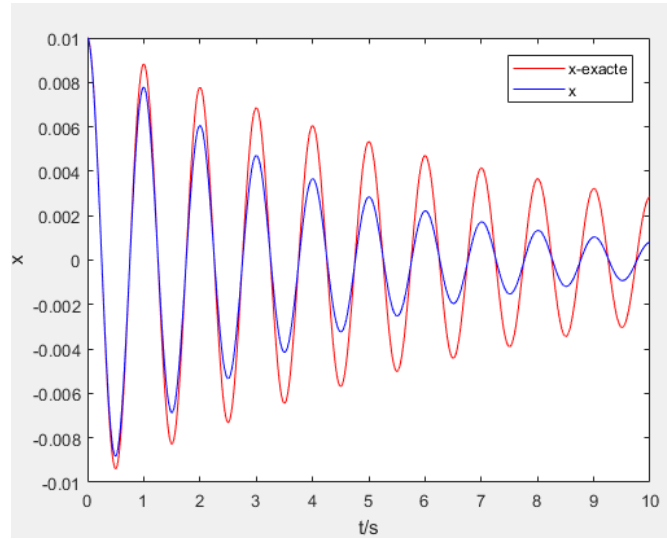
### 1.2

```
clear;
T0 = 1;
w0 = 2*pi/T0;
epsilon = 0.02;
delta_t = 0.1*2*epsilon/w0;
t = 0:delta_t:10*T0;
x0 = 0.01; x0_prime = 0;
x(1) = x0;
x_prime(1) = x0_prime;
omega = w0*sqrt(1-epsilon^2);
x_exacte = exp(-
epsilon*w0*t).*(x0*cos(omega*t)+(epsilon*w0*x0+x0_prime)/omega*sin(omega*t));
plot(t,x_exacte,'r');
hold on
for n=1:length(t)-1
    x(n+1) =
```

```

((1+2*epsilon*w0*delta_t)/(1+2*epsilon*w0*delta_t+delta_t^2*w0^2))*(x
(n)+delta_t*x_prime(n)/(1+2*epsilon*w0*delta_t));
x_prime2 = (-2*epsilon*w0*x_prime(n)-
w0*w0*x(n+1))/(1+2*epsilon*w0*delta_t);
x_prime(n+1) = x_prime(n)+delta_t*x_prime2;
end
plot(t,x,'b');
xlabel('t/s');
ylabel('x');
legend('x-exacte', 'x');

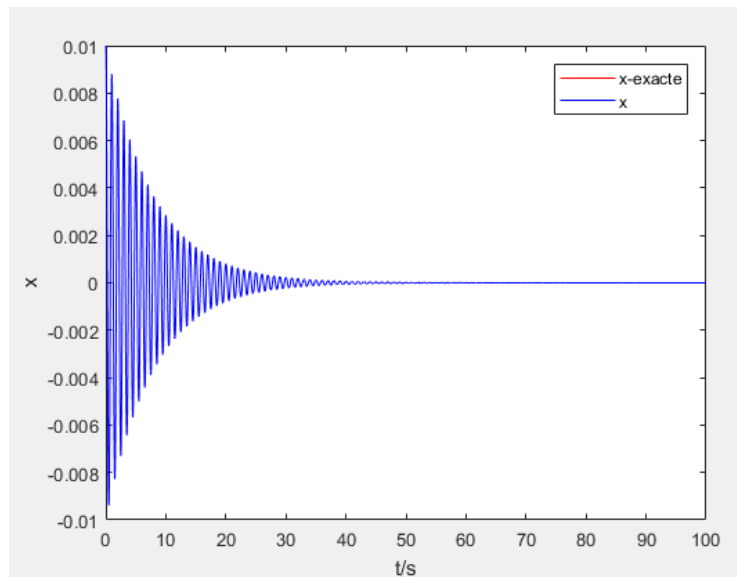
```



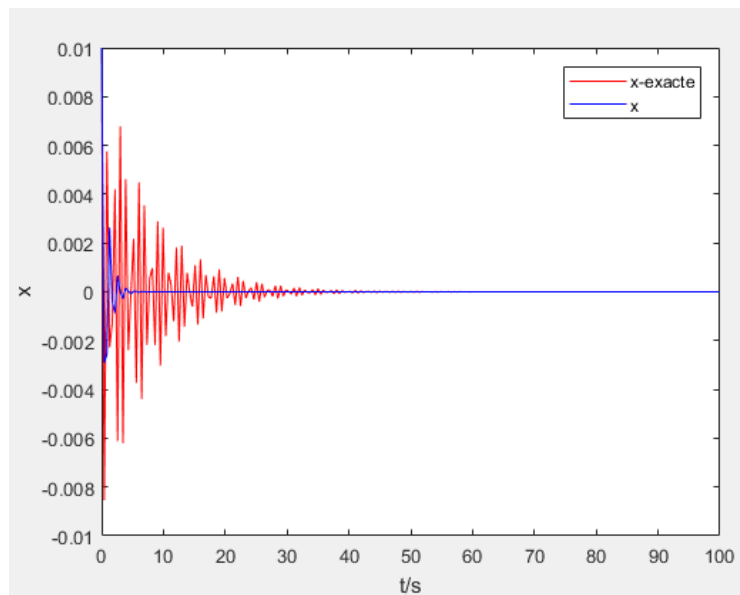
Il converge toujours, donc il n'a pas de temps de critique.

### 1.3

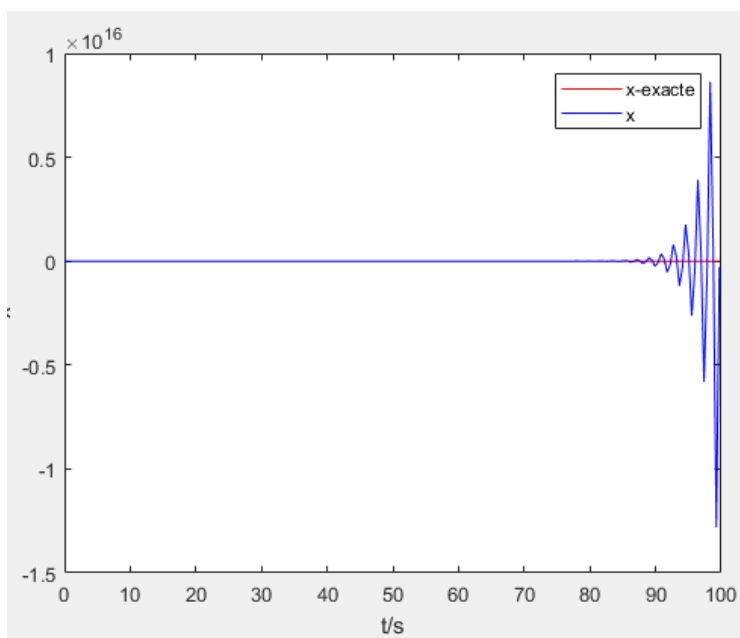
On choisit  $h=0.04$ , et on peut voir que la solution est comme ça et il est très précis :



On choisit  $h=0.96$ , et on peut voir que la solution est comme ça, il n'est pas très précis mais il converge quand même :



On choisit  $h=1.04$ , et on peut voir que la solution est comme ça, il diverge :



### 1.3b

Le pas de temps critique est environ 1.013-1.014

## Etude d'un double pendule avec l'hypothèse des petits mouvements

### 1.1

On suppose  $M = ma^2[2, 1; 1, 1]$  et  $N = mga[2, 0; 0, 1]$  et  $V = F_0 \sin(\omega t)[a, a/\sqrt{2}]$  et  $q = [\theta_1; \theta_2]$ .

Alors on a  $M\ddot{q} + Nq = V$

Alors on a

$$\begin{aligned} A &= [\text{eye}(2) - \Delta t^2/2 * \text{inv}(M) * N, \quad \text{eye}(2) * \Delta t; \\ &\quad - \Delta t * \text{inv}(M) * N + \Delta t^3/4 * (\text{inv}(M) * N)^2, \quad \text{eye}(2) - \Delta t^2/2 * \text{inv}(M) * N]; \\ E &= [\Delta t/2 * \text{inv}(M) * V; \\ &\quad \Delta t * \text{inv}(M) * V - \Delta t^2/4 * \text{inv}(M) * N * \text{inv}(M) * V]; \end{aligned}$$

On a  $q_{(j+1)} = A * q_{(j)} + E$

### 1.3

$$m*a^2[2, 1; 1, 1]*q''(0) + m*g*a*[2, 0; 0, 1]*q(0) = F_0 * \sin(\omega t)[a; a/\sqrt{2}];$$

### 1.4

$$\begin{aligned} q_{(j+1)} &= q_{(j)} + \Delta t * q'_{(j)} + \Delta t^2/2 * q''_{(j)}; \\ m*a^2[2, 1; 1, 1]*q''_{(j)} + m*g*a*[2, 0; 0, 1]*q_{(j)} &= F_0 * \sin(\omega t)[a; a/\sqrt{2}]; \\ q'_{(j+1)} &= q'_{(j)} + \Delta t/2 * q''_{(j)} + \Delta t^2/2 * q''_{(j+1)}; \end{aligned}$$

### 1.5

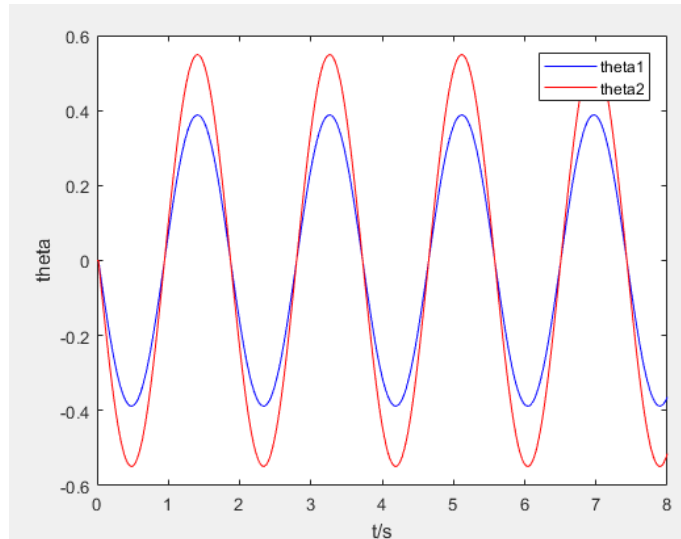
```
clear;
m=2; a=0.5; g=9.81; F0=20; w=2*pi;
T0=8; delta_t=0.02; gamma=0.5; beta=0;
theta10=0; theta20=0; dtheta10=-1.31519275; dtheta20=-1.85996342;
t = 0:delta_t:T0;

U(1,1)=theta10;
U(2,1)=theta20;
U(3,1)=dtheta10;
U(4,1)=dtheta20;
M=m*a^2*[2 1;1 1];
N=m*g*a*[2 0;0 1];
V0=F0*sin(w*0).*[a;a/sqrt(2)];
U(5:6,1)=inv(M)*(V0-N*[theta10;theta20]);
for n=1:length(t)-1
    t_cur=t(n+1);
    V=F0*sin(w*t_cur).*[a;a/sqrt(2)];
    E=[delta_t/2*inv(M)*V;
        delta_t*inv(M)*V-delta_t^2/4*inv(M)*N*inv(M)*V];
    A=[eye(2)-delta_t^2/2*inv(M)*N, eye(2)*delta_t;
        -delta_t*inv(M)*N+delta_t^3/4*(inv(M)*N)^2, eye(2)-
        delta_t^2/2*inv(M)*N];
    U(:,n+1)=A*U(:,n)+E;
end
```

```

for j = 1:length(t)-1
    U(1:4,j+1)=A*U(1:4,j)+E;
    U(5:6,j+1)=inv(M)*(V-N*[U(1,j);U(2,j)]);
end
end
plot(t,U(1,:),'b');
hold on
plot(t,U(2,:),'r');
xlabel('t/s');
ylabel('theta');
legend('theta1','theta2');

```



valeur=U(:,[1 2 3 26])

```

valeur =

```

0	-0.0263	-0.0525	-0.3852
0	-0.0372	-0.0742	-0.5447
-1.3152	-1.3122	-1.3031	0.1635
-1.8600	-1.8557	-1.8429	0.2312
0	-0.0000	0.3023	4.4541
0	-0.0000	0.4275	6.2990

## 2.1

On suppose  $M = ma^2 \begin{bmatrix} 2, 1; 1, 1 \end{bmatrix}$  et  $N = mga \begin{bmatrix} 2, 0; 0, 1 \end{bmatrix}$  et  $V = F_0 \sin(\omega t) \begin{bmatrix} a, a/\sqrt{2} \end{bmatrix}$  et  $q = [\theta_1; \theta_2]$ .

Alors on a  $M\ddot{q} + Nq = V$

Alors on a

$S = [\text{eye}(2) + 1/4 * dt^2 * \text{inv}(B) * C];$

```

P = [S, zeros(2) ;
      zeros(2), eye(2) ];

Q=[eye(2)-1/4*delta_t^2*inv(M)*N,
   -1/2*delta_t*inv(M)*N*(eye(2)+inv(S)-1/4*delta_t^2*inv(S)*inv(M)*N),
   1/2*delta_t^2*inv(M)*N*inv(S) ];

R=[1/2*delta_t^2*inv(M)*V ;
   delta_t*inv(M)*V-1/4*delta_t^3*inv(M)*N*inv(S)*inv(M)*V];

```

Alors on a  $P \cdot q_{-}(j+1) = Q \cdot q_{-}(j) + R$

Donc  $A = inv(F) * G$ ;

### 2.3

$ma^2[2, 1; 1, 1]*q''(0) + mga[2, 0; 0, 1]*q(0) = F0 * \sin(0) * [a; a/\sqrt{2}]$ ;

### 2.4

$q_{-}(j+1) = q_{-}(j) + \Delta t * q'_{-}(j) + \Delta t^2 / 4 * q''_{-}(j) + \Delta t^2 / 4 * q''_{-}(j+1);$   
 $m * a^2[2, 1; 1, 1] * q''_{-}(j) + m * g * a * [2, 0; 0, 1] * q_{-}(j) = F0 * \sin(wt) * [a; a/\sqrt{2}]$ ;  
 $q'_{-}(j+1) = q'_{-}(j) + \Delta t / 2 * q''_{-}(j) + \Delta t / 2 * q''_{-}(j+1);$

### 2.5

```

clear;
m=2; a=0.5; g=9.81; F0=20; w=2*pi;
T0=8; delta_t=0.02; gamma=0.5; beta=0;
theta10=0; theta20=0; dtheta10=-1.31519275; dtheta20=-1.85996342;
t = 0:delta_t:T0;

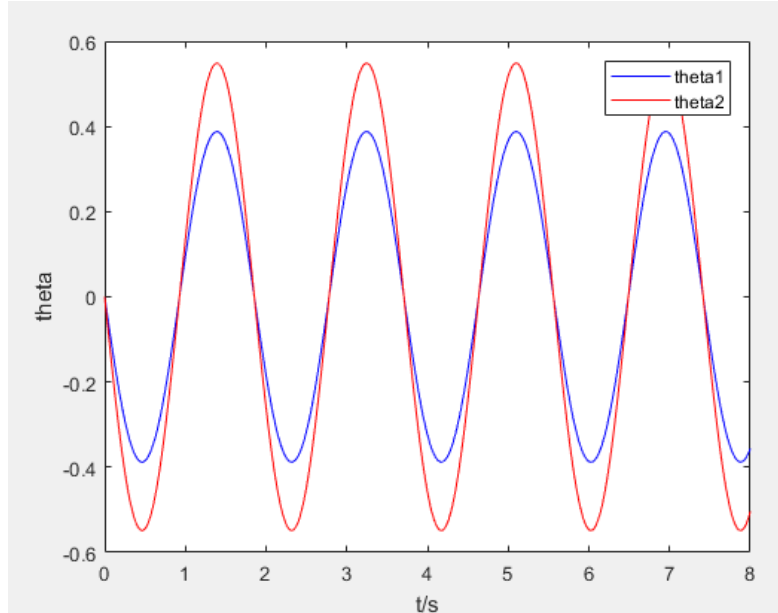
U(1,1)=theta10;
U(2,1)=theta20;
U(3,1)=dtheta10;
U(4,1)=dtheta20;
M=m*a^2*[2 1;1 1];
N=m*g*a*[2 0;0 1];
V0=F0*sin(w*0).*[a;a/sqrt(2)];
U(5:6,1)=inv(M)*(V0-N*[theta10;theta20]);
S=[eye(2)+1/4*delta_t^2*inv(M)*N];
P=[S zeros(2) ; zeros(2) eye(2)];
Q=[eye(2)-1/4*delta_t^2*inv(M)*N, eye(2)*delta_t;
   -1/2*delta_t*inv(M)*N*(eye(2)+inv(S)-
   1/4*delta_t^2*inv(S)*inv(M)*N), eye(2)-
   1/2*delta_t^2*inv(M)*N*inv(S)];
A=inv(P)*Q;
for n=1:length(t)-1
    t_cur=t(n+1);

```

```

V=F0*sin(w*t_cur).*[a;a/sqrt(2)];
R=[1/2*delta_t^2*inv(M)*V ;
    delta_t*inv(M)*V-1/4*delta_t^3*inv(M)*N*inv(S)*inv(M)*V];
for j = 1:length(t)-1
    U(1:4,j+1)=A*U(1:4,j)+inv(P)*R;
    U(5:6,j+1)=inv(M)*(V-N*[U(1,j);U(2,j)]);
end
plot(t,U(:,1),'b');
hold on
plot(t,U(:,2),'r');
xlabel('t/s');
ylabel('theta');
legend('theta1','theta2');
valeur = U(:,[1 2 3 26])

```



valeur=U(:,[1 2 3 26])

```

valeur =

```

0	-0.0263	-0.0524	-0.3850
0	-0.0372	-0.0741	-0.5444
-1.3152	-1.3122	-1.3031	0.1622
-1.8600	-1.8557	-1.8429	0.2294
0	-0.0000	0.3020	4.4518
0	-0.0000	0.4270	6.2957

## Etude d'un oscillateur non linéaire à un degré de liberté

### 1.1

$$\begin{aligned}q_{(j+1)} &= q_{(j)} + \Delta t * q'_{(j)} + \Delta t^2 / 2 * q''_{(j)} \\q''_{(j+1)} &= -w_0^2 * q_{(j)} * (1 + a * q_{(j+1)})^2 \\q'_{(j+1)} &= q'_{(j)} + \Delta t / 2 * q''_{(j)} + \Delta t / 2 * q''_{(j+1)}\end{aligned}$$

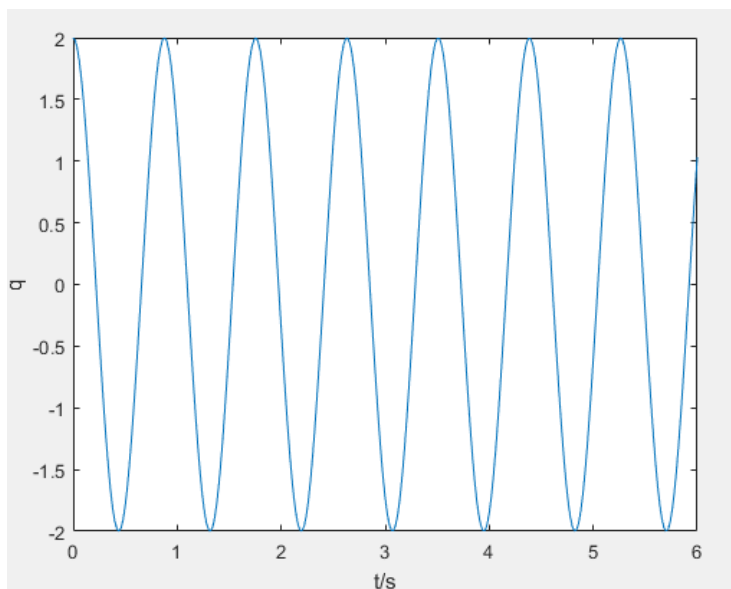
### 1.2

Le code est :

```
clear;
a = 0.1;
w0 = 2*pi;
T0 = 6;
delta_t = 0.01;
t = 0:delta_t:T0;
q(1) = 2;
q_prime(1) = 0;
q_prime_prime(1) = -w0^2*2*(1+a*2*2);
for j=1:length(t)-1
    q(j+1) = q(j)+delta_t*q_prime(j)+delta_t^2/2*q_prime_prime(j);
    q_prime_prime(j+1) = -w0*w0*q(j+1)*(1+a*q(j+1)^2);
    q_prime(j+1) =
        q_prime(j)+delta_t/2*q_prime_prime(j)+delta_t/2*q_prime_prime(j+1);
end
plot(t,q)
xlabel('t/s');
ylabel('q');
```

### 1.3

la solution numérique est comme :



```

q(0) = 2
q(Δt) = 1.9779
q(2*Δt) = 1.9123
q(T0) = 1.0329

```

## 2.1

Il faut minimiser le résidu qui est = abs((q''\*)+w0^2\*(q\*)(1+a\*(q\*)^2));

## 2.2

```

f(q''*(j+1), q*(j+1))=(q''*(j+1))+w0^2*(q*(j+1))*(1+a*(q*(j+1))^2);
Δq''_(j+1)=-f(q''*(j+1), q*(j+1))/(df/dq''*(j+1)+df/q*(j+1)*β*Δt^2);
q''*(j+1)=q''*(j+1)+Δq''_(j+1);

```

## 2.3

**Le code est comme :**

```

clear;
a = 0.1;
w0 = 2*pi;
gamma=0.5;
beta=0.25;
T0=6;
delta_t=0.02;
t = 0:delta_t:T0;

q(1) = 2;
q_prime(1) = 0;
q_prime_prime(1) = -w0^2*2*(1+a*2*2);
E_sur_m(1) = 1/2*q_prime(1)^2+1/2*w0^2*q(1)^2+1/4*w0^2*a*q(1)^4;
e = 0.0001;

for j=1:length(t)-1
    q_prime_prime(j+1)=0;
    q_prime(j+1)=q_prime(j)+delta_t*(1-gamma)*q_prime_prime(j);
    q(j+1)=q(j)+delta_t*q_prime(j)+delta_t^2*(0.5-
beta)*q_prime_prime(j);
    residu=abs(q_prime_prime(j+1)+w0^2*q(j+1)*(1+a*(q(j+1))^2));
    while residu>=e
        f=q_prime_prime(j+1)+w0^2*q(j+1)*(1+a*(q(j+1))^2);
        delta_d2q=-f/(1+beta*delta_t^2*(w0^2+3*w0^2*a*(q(j+1))^2));
        delta_q=beta*delta_t^2*delta_d2q;
        delta_dq=gamma*delta_t*delta_d2q;
        q(j+1)=q(j+1)+delta_q;
        q_prime(j+1)=q_prime(j+1)+delta_dq;
        q_prime_prime(j+1)=q_prime_prime(j+1)+delta_d2q;
    end
end

```

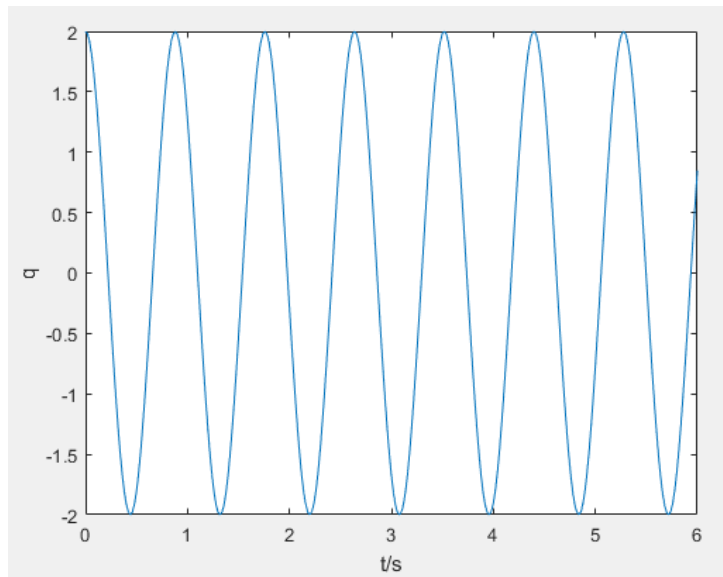
```

residu=abs(q_prime_prime(j+1)+w0^2*q(j+1)*(1+a*(q(j+1))^2));
end
E_sur_m(j+1) = 1/2*q_prime(j+1)^2 + 1/2*w0^2*q(j+1)^2 +
1/4*w0^2*a*q(j+1)^4;
end
plot(t,q)
q(1)
q(2)
q(3)
q(length(t))
xlabel('t/s');
ylabel('q');

```

## 2.4

La solution numérique est comme :



$$q(0) = 2$$

$$q(\Delta t) = 1.9781$$

$$q(2\Delta t) = 1.9131$$

$$q(T_0) = 0.8485$$

## 3.1

$$E = E_c + E_p = 1/2*m*q''^2 + 1/2*k*q^2 + 1/4*k*a*q^4$$

$$E/m = 1/2*q''^2 + 1/2*w0^2*q^2 + 1/4*w0^2*a*q^4$$

## 3.2

```

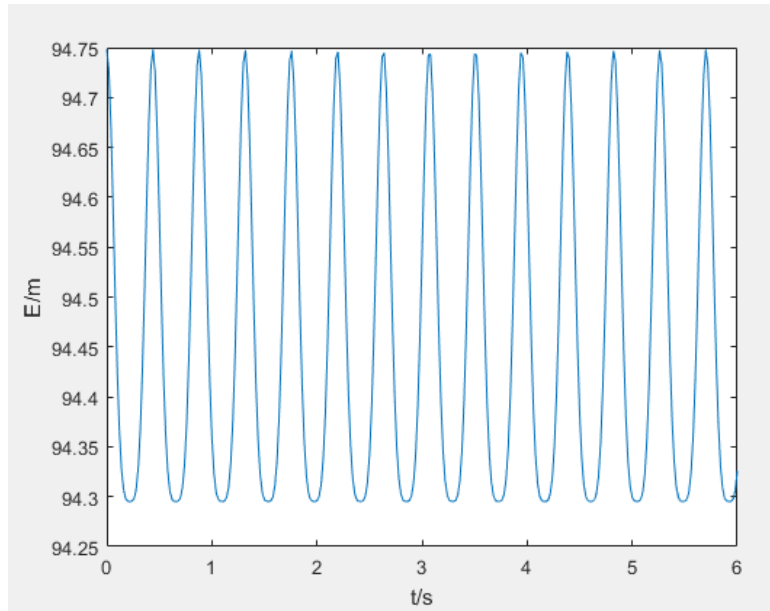
E_sur_m(1) = 1/2*q_prime(1)^2+1/2*w0^2*q(1)^2+1/4*w0^2*a*q(1)^4;
E_sur_m(j+1) =
1/2*q_prime(j+1)^2+1/2*w0^2*q(j+1)^2+1/4*w0^2*a*q(j+1)^4;

```

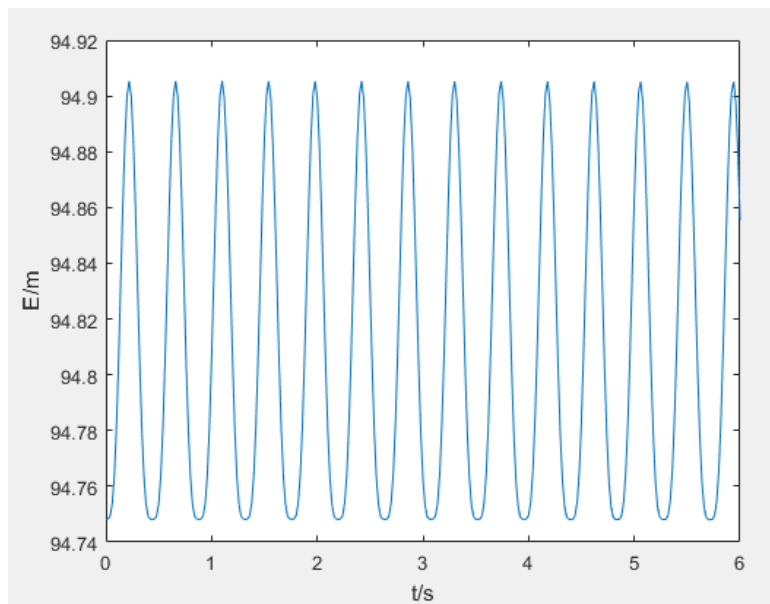
## 3.3

On prend  $\Delta t = 0.02\text{s}$ ,

Pour le NEWMARK explicite, on a  $E/m$  est comme :



Pour le NEWMARK implicite, on a  $E/m$  est comme :



Normalement, l'énergie de ce modèle doit être constante, mais l'énergie des deux méthodes de NEWMARK oscille quand même, ce qui montre que ces deux méthodes ont encore une certaine erreur.